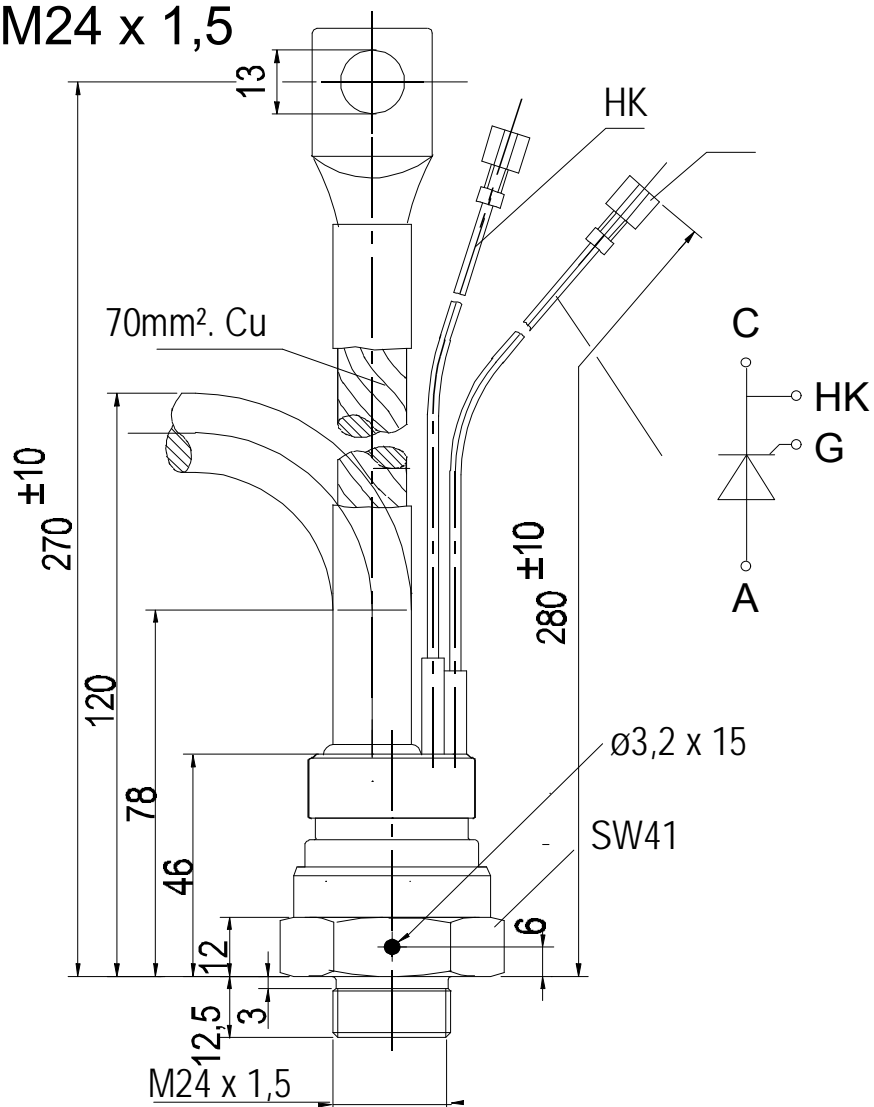


European Power-Semiconductor and Electronics Company

# Marketing Information

## T 370 N

SW41 /M24 x 1,5



VWK June

# T 370 N

## Elektrische Eigenschaften

### Höchstzulässige Werte

Periodische Vorwärts- und Rückwärts-Spitzensperrspannung

## Electrical properties

### Maximum rated values

repetitive peak forward off-state and reverse voltages

$$t_{vj} = -40^{\circ}\text{C} \dots t_{vj \text{ max}}$$

$V_{\text{DRM}}, V_{\text{RRM}}$	600 800 1000 1200	V
	1400 1600 1800	

Vorwärts-Stoßspitzensperrspannung

non-repetitive peak forward off-state voltage

$$t_{vj} = -40^{\circ}\text{C} \dots t_{vj \text{ max}}$$

$V_{\text{DSM}} = V_{\text{DRM}}$	600 800 1000 1200	V
	1400 1600 1800	

Rückwärts-Stoßspitzensperrspannung

non-repetitive peak reverse voltage

$$t_{vj} = +25^{\circ}\text{C} \dots t_{vj \text{ max}}$$

$V_{\text{RSM}} = V_{\text{RRM}}$	700 900 1100 1300	V
	1500 1700 1900	

Durchlaßstrom-Grenzeffektivwert

RMS on-state current

$I_{\text{TRMSM}}$	650	A
--------------------	-----	---

Dauergrenzstrom

average on-state current

$$t_c = 85^{\circ}\text{C}$$

$I_{\text{TAVM}}$	370	A
-------------------	-----	---

$$t_c = 79^{\circ}\text{C}$$

	414	A
--	-----	---

Stoßstrom-Grenzwert

surge current

$$t_{vj} = 25^{\circ}\text{C}, t_p = 10 \text{ ms}$$

$I_{\text{TSM}}$	9400	A
------------------	------	---

$$t_{vj} = t_{vj \text{ max}}, t_p = 10 \text{ ms}$$

	8000	A
--	------	---

Grenzlastintegral

$I^2 t$ -value

$$t_{vj} = 25^{\circ}\text{C}, t_p = 10 \text{ ms}$$

$I^2 t$	442	$\text{kA}^2\text{s}$
---------	-----	-----------------------

$$t_{vj} = t_{vj \text{ max}}, t_p = 10 \text{ ms}$$

	320	$\text{kA}^2\text{s}$
--	-----	-----------------------

Kritische Stromsteilheit

critical rate of rise of on-state current

$$V_D \leq 67\%, V_{\text{DRM}}, f = 50 \text{ Hz}$$

$(di_T/dt)_{\text{cr}}$	200	$\text{A}/\mu\text{s}$
-------------------------	-----	------------------------

$$i_{\text{GM}} = 1 \text{ A}, di_G/dt = 1 \text{ A}/\mu\text{s}$$

Kritische Spannungssteilheit

critical rate of rise of off-state voltage

$$t_{vj} = t_{vj \text{ max}}, V_D = 67\% V_{\text{DRM}}$$

$(dv/dt)_{\text{cr}}$	1000	$\text{V}/\mu\text{s}$
-----------------------	------	------------------------

## Charakteristische Werte

## Characteristic values

Durchlaßspannung

on-state voltage

$$t_{vj} = t_{vj \text{ max}}, i_T = 1200 \text{ A}$$

$V_T$	max. 1,65	V
-------	-----------	---

Schleusenspannung

threshold voltage

$$t_{vj} = t_{vj \text{ max}}$$

$V_{T(\text{TO})}$	0,8	V
--------------------	-----	---

Ersatzwiderstand

slope resistance

$$t_{vj} = t_{vj \text{ max}}$$

$r_T$	0,5	$\text{m}\Omega$
-------	-----	------------------

Zündstrom

gate trigger current

$$t_{vj} = 25^{\circ}\text{C}, V_D = 6 \text{ V}$$

$I_{\text{GT}}$	max. 250	$\text{mA}$
-----------------	----------	-------------

Zündspannung

gate trigger voltage

$$t_{vj} = 25^{\circ}\text{C}, V_D = 6 \text{ V}$$

$V_{\text{GT}}$	max. 2,2	V
-----------------	----------	---

Nicht zündender Steuerstrom

gate non-trigger current

$$t_{vj} = t_{vj \text{ max}}, V_D = 6 \text{ V}$$

$I_{\text{GD}}$	max. 10	$\text{mA}$
-----------------	---------	-------------

Nicht zündende Steuerspannung

gate non-trigger voltage

$$t_{vj} = t_{vj \text{ max}}, V_D = 0,5 V_{\text{DRM}}$$

$V_{\text{GD}}$	max. 0,2	V
-----------------	----------	---

Haltestrom

holding current

$$t_{vj} = 25^{\circ}\text{C}, V_D = 6 \text{ V}, R_A = 5 \Omega$$

$I_H$	max. 300	$\text{mA}$
-------	----------	-------------

Einraststrom

latching current

$$t_{vj} = 25^{\circ}\text{C}, V_D = 6 \text{ V}, R_{\text{GK}} > 10 \Omega$$

$I_L$	max. 1,2	A
-------	----------	---

$$i_{\text{GM}} = 1 \text{ A}, di_G/dt = 1 \text{ A}/\mu\text{s}, t_g = 20 \mu\text{s}$$

Vorwärts- und Rückwärts-Sperrstrom

forward off-state and reverse currents

$$t_{vj} = t_{vj \text{ max}}, V_D = V_{\text{DRM}}, V_R = V_{\text{RRM}}$$

$i_D, i_R$	max. 50	$\text{mA}$
------------	---------	-------------

Zündverzug

gate controlled delay time

$$t_{vj} = 25^{\circ}\text{C}, i_{\text{GM}} = 1 \text{ A}, di_G/dt = 1 \text{ A}/\mu\text{s}$$

$t_{\text{gd}}$	max. 4	$\mu\text{s}$
-----------------	--------	---------------

Freiwerdezeit

circuit commutated turn-off time

$$\text{siehe Techn.Erl./see Techn. Inf.}$$

$t_q$	typ. 250	$\mu\text{s}$
-------	----------	---------------

## Thermische Eigenschaften

## Thermal properties

Innerer Wärmewiderstand

thermal resistance, junction to case

$$\Theta = 180^{\circ}\text{el, sin}$$

$R_{\text{thJC}}$	max. 0,085	$^{\circ}\text{C}/\text{W}$
-------------------	------------	-----------------------------

$$\text{DC}$$

	max. 0,082	$^{\circ}\text{C}/\text{W}$
--	------------	-----------------------------

Höchstzul.Sperrschichttemperatur

max. junction temperature

$t_{vj \text{ max}}$	125	$^{\circ}\text{C}$
----------------------	-----	--------------------

Betriebstemperatur

operating temperature

$$t_c \text{ op}$$

	-40...+125	$^{\circ}\text{C}$
--	------------	--------------------

Lagertemperatur

storage temperature

$$t_{\text{stg}}$$

	-40...+150	$^{\circ}\text{C}$
--	------------	--------------------

## Mechanische Eigenschaften

## Mechanical properties

Si-Elemente mit Druckkontakt

Si-pellet with pressure contact

Anzugsdrehmoment

mounting torque

M	60	Nm
---	----	----

Gewicht

weight

G	typ. 620	g
---	----------	---

Kriechstrecke

creepage distance

	12	mm
--	----	----

Feuchteklasse

humidity classification

$$\text{DIN 40040}$$

		C
--	--	---

Schwingfestigkeit

vibration resistance

$$f = 50 \text{ Hz}$$

	50	$\text{m}/\text{s}^2$
--	----	-----------------------

Maßbild, anliegend

outline, attached

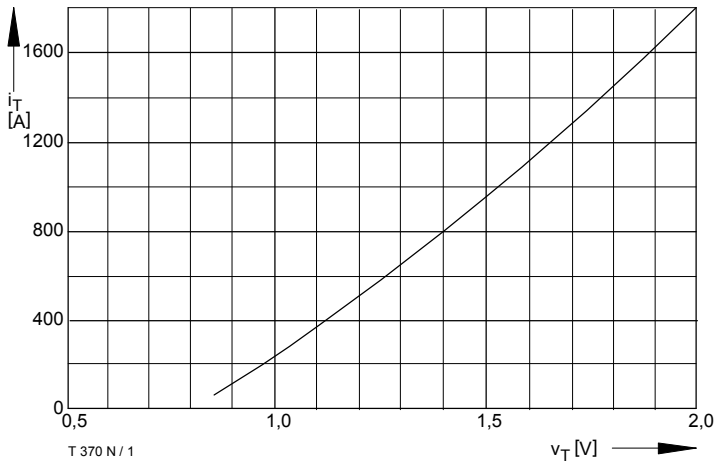


Bild / Fig. 1  
Grenzdurchlaßkennlinie / Limiting on-state characteristic  
 $i_T = f(v_T)$ ,  $t_{vj} = t_{vj \text{ max}}$

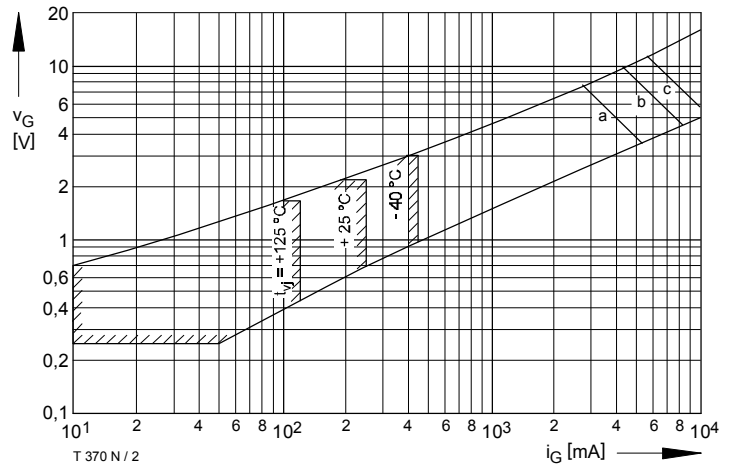


Bild / Fig. 2  
Steuercharakteristik mit Zündbereichen / Gate characteristic with triggering areas  $v_G = f(i_G)$ ,  $V_D = 6 \text{ V}$

Parameter:

	a	b	c
Steuerimpulsdauer / trigger puls duration $t_g$ [ms]	10	1	0,5
Höchstzulässige Spitzensteuerverlustleistung / Max. rated peak gate power dissipation [W]	20	40	60

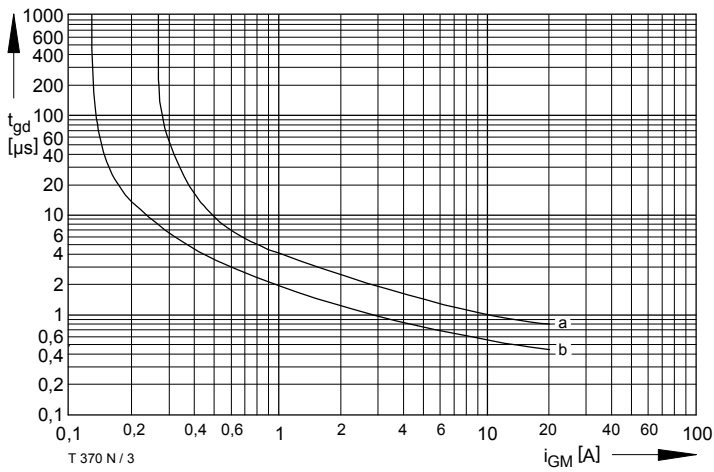


Bild / Fig. 3  
Zündverzug / Gate controlled delay time  $t_{gd} = f(i_{GM})$   
 $t_{vj} = 25 \text{ °C}$ ,  $di_G/dt = i_{GM}/1 \mu\text{s}$   
a - Maximaler Verlauf / Limiting characteristic  
b - Typischer Verlauf / Typical characteristic

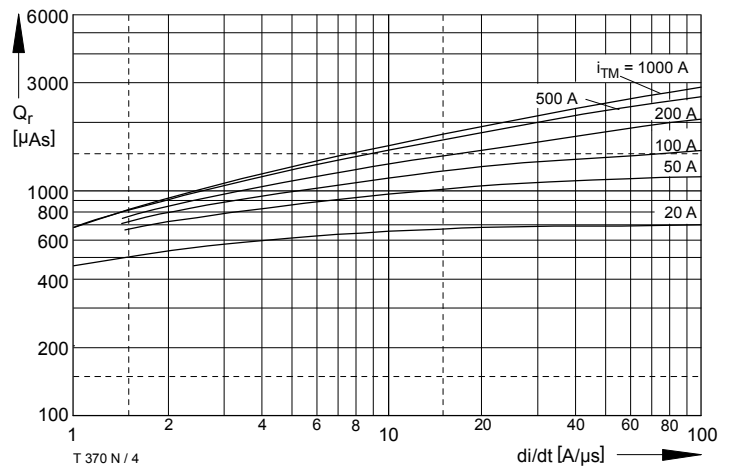


Bild / Fig. 4  
Sperrverzögerungsladung / Recovered charge  $Q_r = f(di/dt)$   
 $t_{vj} = t_{vj \text{ max}}$ ,  $V_R = 0,5 V_{RRM}$ ,  $V_{RM} = 0,8 V_{RRM}$   
Parameter: Durchlaßstrom / On-state current  $i_{TM}$

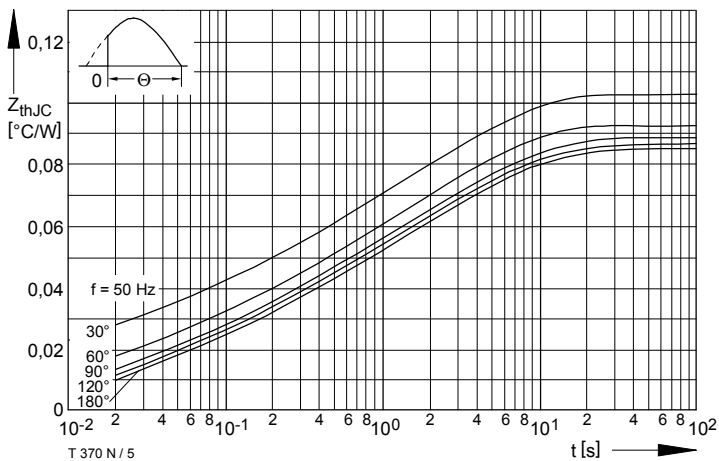
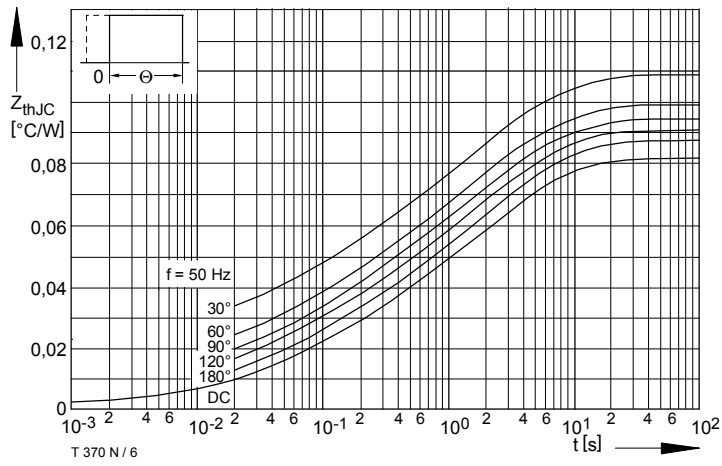


Bild / Fig. 5  
Transienter innerer Wärmewiderstand / Transient thermal impedance  
 $Z_{thJC} = f(t)$   
Parameter: Stromflußwinkel / current conduction angle  $\theta$



Analytische Elemente des transienten Wärmewiderstandes  $Z_{thJC}$  pro Zweig für DC  
 Analytical elements of transient thermal impedance  $Z_{thJC}$  per arm for DC

Pos. n	1	2	3	4	5	6
$R_{thn}$ [°C/W]	0,00035	0,00275	0,0123	0,0225	0,0247	0,0194
$\tau_n$ [s]	0,000328	0,0015	0,0379	0,292	1,9	6,75

Analytische Funktion / Analytical function:

$$Z_{thJC} = \sum_{n=1}^{n_{max}} R_{thn} (1 - e^{-\frac{t}{\tau_n}})$$

Bild / Fig. 6  
 Transienter innerer Wärmewiderstand / Transient thermal impedance  
 $Z_{thJC} = f(t)$   
 Parameter: Stromflußwinkel / current conduction angle  $\theta$